#### ФЕДЕРАЛЬНОЕ АГЕНТСТВО ПО ОБРАЗОВАНИЮ

# ГОСУДАРСТВЕННОЕ ОБРАЗОВАТЕЛЬНОЕ УЧРЕЖДЕНИЕ ВЫСШЕГО ПРОФЕССИОНАЛЬНОГО ОБРАЗОВАНИЯ «ИРАКСКИЙ ГОСУДАРСТВЕННЫЙ УНИВЕРСИТЕТ ИМ. Д.В. БУША»

#### Арбузолитейный факультет

Специальность «Фундаментальный исламизм и физическая софистика»

Кафедра общей демократии

#### Дипломная работа

# ВОССТАНОВЛЕНИЕ АРХИТЕКТУРЫ РАЗРУШЕННЫХ ГОРОДОВ ПО МНОГОБАХЧЕВЫМ ДЫННЫМ ПОЛЯМ МЕТОДОМ ВСЕОБЩЕГО ГОЛОСОВАНИЯ

«К защите допущен»:	
Зав. кафедрой общей демократии, профессор, д.фм.н.	Иванов И.И.
Научный руководитель, профессор, в.н.с. ЁКЛ ЭМЭН, д.фм.н.	Петров П.П.
Рецензент, зав. лаб. ЖЗ ИКЛ, д.фм.н.	Сидоров С.С.
Консультант по технике безопасности, ассистент	
каф. софистики	Рейсфейдер Р.Р.
Дипломник	Ватманн В.В.

## Содержание

Глава	I. Введение	3
Глава	II. Основные определения	4
Глава	III. Формулы	4
3.1.	Аналитический функтор для h-species	4
3.2.	Декатегорификация аналитического функтора: Фробениусова	
	характеристика / Цикленный индекс	5
3.3.	Сумма и произведение цикленных индексов	0
3.4.	Произведение	0
3.5	Пикленный индекс композиции	1

### Глава I. Введение

Гипероктаэдральные или кубические комбинаторные виды — развите идеи комбинаторных типов (species). Мы будем обозначать их h-species для краткости. ТООО:добавить введение (видимо взять часть из Bergeron)

План: Изложить теорию для species, параллельно строить ее для h-species species — сложение умножение — аналитический функтор — композиция аналитических функторов — композиция species — декатегорификация аналитического функтора — примеры

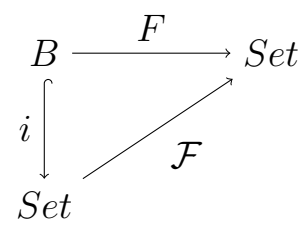
#### Глава II. Основные определения

species HSet h-species аналитический функтор

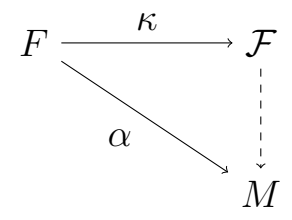
#### Глава III. Формулы

#### 3.1. Аналитический функтор для h-species

Аналитический функтор  $\mathcal{F}$  соответствующий species F является продуктивной конструкцией, позволяющей определить композиционное произведение species. Вводить его можно разными способами, мы ограничимся универсальным свойством и явной конструкцией (TODO: дописать и возможно добавить определение Дурова). Аналитический функтор является левым расширением по Кану функтора F относительно i.



Эта диаграмма не является коммутативной, а коммутативна лишь настолько, насколько может быть коммутативной диаграмма подобного вида. А именно, имеется естественное преобразование  $\kappa F \to i \circ \mathcal{F}$ , обладающее следующим универсальным свойством: для любого функтора  $M \colon Set \to Set$  и морфизма функторов  $\eta \colon F \to i \circ M$  этот морфизм пропускаеться через  $\mathcal{F}$  при помощи  $\kappa$ .



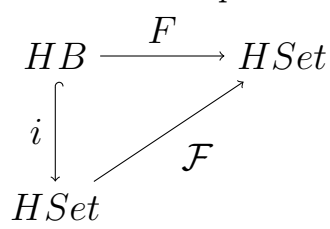
Явная формула для аналитического функтора. Для доказательства см (TODO)

$$\mathcal{F} = \sum_{n} F[n] \times A^{n} / S_{n} \tag{3.1}$$

У аналитического функтора для типа структуры F имеется прозрачный комбинаторная интерпретация. Если трактовать множество A как набор цветов, то значение аналитического функтора  $\mathcal{F}(A)$  трактуется как множество

структур типа F раскрашенных в цвета из A.

Хочется построить аналог аналитического функтора для h-species



$$\mathcal{F} = \sum_{n} F[\bar{n}] \times A^{\bar{n}}/B_n \tag{3.2}$$

Где  $A^{\bar{n}}$  задает отображение, сохраняющее инволюцию.

TODO:Здесь нужно добавить проверук универсальности картинки

# 3.2. Декатегорификация аналитического функтора: Фробениусова характеристика / Цикленный индекс

#### 3.2.1. Случай обычных species

Напомним ситуацию с обычными species. Процедура декатегорификации не имеет строго математического смысла, так же как и процедура квантования. Сейчас мы предложим процедуру, которая, стартуя с обычных species, на выходе дает классический цикленный инлдекс/фробениусову характеристику. Затем мы попытаемся аналогические действия провести и в гипероктаэдральном случае. Декатегорификацией моноидальной категории  $\mathbb B$  является моноид классов изоморфизма объектов категории  $\mathbb B$ , то есть моноид натуральных чисел по сложению. Декатегорификкацией  $\widehat{\mathbb B}$  естественным образом оказывается моноидная алгебра с коэффициентами из  $\mathbb Z$  для моноида  $\mathbb N$ , то есть кольцо многочленов Z[X]. (Правда это не то, что мы хотели. Чтобы получить цикленный индекс надо декатегорифицировать саму операцию подстановки и аналитический функтор).

Надо устроить морфизм из моноидальной категории (категории с тензорным произведением) в какую-нибудь алгебру функций. Мы вводим весовую функцию таким образом что орбита раскрашенной структуры под действием  $S_n$  имеет один и тот же вес. После этого можно задать вопрос о коэффициенте при мономе соответствующего веса. Это будет число орбит с заданной весовой функцией. По Лемме Бернсайда это то же самое, что и усредненное

число неподвижных точек по всем элементам группы. Чтобы раскрашенная структура была неподвижна под действием перестановки  $\sigma$  нужно, чтобы вопервых она была неподвижна как не раскрашенная структура, а во-вторых расскраска должна переходить в себя. В качестве весовой функции выбираем моном возникающий в произведении переменных отвечающим цветам. Например расскраске в которой 2 первых цвета и 1 второй соответсвует моном  $x_1^2x_2$ . Тогда первое условие дает нам сомножитель  $\chi(\sigma)$ , где характер это характер соответствующего перестановочного представления с базисом из структур. Второе условие требует покраски каждого цикла в один и тот же цвет. Итоговая формула называеться фробениусовой характеристикой / цикленным индексом. Она считает количество неподвижных раскрашенных структур в среднем.

$$\mathcal{Z}_F = \sum_n \frac{1}{n!} \sum_{\sigma \in S_n} \chi(\sigma) \psi^{\lambda(\sigma)} = \sum_{n, \lambda \vdash n} \chi(\sigma_\lambda) \frac{\psi^\lambda}{z_\lambda}$$
 (3.3)

Где  $\chi$  — характер (перестановочного) представления заданного F,  $\sigma$  — перестановка цикленного типа  $\lambda$ ,  $\psi^{\lambda} = (x_1^{\lambda_1} + x_2^{\lambda_1} + x_3^{\lambda_1} + \dots)(x_1^{\lambda_2} + x_2^{\lambda_2} + x_3^{\lambda_2} + \dots)(x_1^{\lambda_3} + x_2^{\lambda_3} + x_3^{\lambda_3} + \dots) \dots, z_{\lambda}$ — индекс класса сопряженности  $\sigma$ . Появляется она из следующих соображений: в числителе стоит симметрическая функция считающая все неподвижные раскраски. Цвета это  $x_1, x_2, x_3, \dots$ 

#### 3.2.2. Случай h-species

Попробуем построить аналогичную конструкцию для h-species. Прежде всего отметим, что раскраска, элемент  $A^{\bar{n}}$ , это отображение, сохраняющее инволюцию. Значит элементы n и -n должны отображаться либо в один и тот же элемент A (который инволюцией переводиться в себя), либо в пару элементов сопряженных инволюцией. Будем называть первый случай моно-цветом, второй — бицветом.

Покрашенные структуры сами по себе можно рассматривать как моноцвет, либо бицвет. Это по–прежнему определяется длинной орбиты инволюции A, уже после факторизации по  $B_n$ . То есть кроме действия  $B_n$  есть еще внешняя инволюция — действие  $Z_2$ . Будем называть их моноструктурами и биструктурами.

Цикленный индекс, считающий только моноструктуры будем обозначать

 $\mathcal{Z}^{(1)}$ , биструктуры —  $\mathcal{Z}^{(2)}$ . Количество орбит под действием  $H_n \times Z_2$  соответствует  $\mathcal{Z}^{(1)} + \mathcal{Z}^{(2)}$ , а под действием только  $H_n$  соответствует  $\mathcal{Z}^{(1)} + 2\mathcal{Z}^{(2)}$ . Поскольку каждая биструктура будет посчитан два раза.

В качестве H-множества цветов возьмем счетное множество моноцветов  $x_1, x_2, x_3, \ldots$  объединенное с счетным множеством бицветов  $y_1, y_2, y_3, \ldots$ 

Допустим, что мы придумали весовую функцию, отправляющую каждую расскрашенную структуру в моном и любая орбита отправляеться в один моном. Применив Лемму Бернсайда переходим к подсчету неподвижных точек. Циклы в каждом элементе  $H_n$  бывают двух типов: длинные — каждая грань входит в цикл вместе со своей противоположной гранью и короткие — пара граней лежит в симметричных, различных циклах.

Посчитаем количество количество неподвижных точек для  $H_n$ . Пусть  $\lambda^1$  — цикленный тип коротких перестановок,  $\lambda^2$  — цикленный тип длинных перестановок. Утверждение: неподвижные раскрашенные структуры, это в точности те, у которых длинный цикл соответсвует моноцвету, а пара симметричных коротких может быть покрашена либо в моноцвет, либо в бицвет.

Это можно выразить такой формулой:

$$\mathcal{Z}_{F}^{(1)} + 2\mathcal{Z}_{F}^{(2)} = \sum_{n} \frac{1}{2^{n} n!} \sum_{\sigma \in B_{n}} \chi(\sigma) \psi_{x,y,y}^{\lambda^{1}(\sigma)} \psi_{x}^{\lambda^{2}(\sigma)} = \sum_{n,\lambda^{1} + \lambda^{2} \vdash n} \chi(\sigma_{\lambda^{1} \lambda^{2}}) \frac{\psi_{x,y,y}^{\lambda^{1}} \psi_{x}^{\lambda^{2}}}{z_{\lambda^{1} \lambda^{2}}}$$

$$(3.4)$$

Здесь нижний индекс  $\psi$  означает переменные по которым берется степенная сумма. Например  $\psi_{x,y,y}^2 = (x_1^2 + x_2^2 + x_3^2 + \dots + y_1^2 + y_2^2 + y_3^2 + \dots + y_1^2 + y_2^2 + y_3^2 + \dots)$ . При этом коофициент 2 у  $y_i^2$  отражает тот факт, что можно раскрасить k пар граней в бицвет, так чтобы расскраска была неподвижна, под действием короткого цикла, 2-мя способами.

Посчитаем количество количество неподвижных точек для  $H_n \times Z_2$ . Разобъем сумму на две части —  $(h, \bar{0})$  и  $(h, \bar{1})$ . Для первой формула будет аналогична 3.4, только из-за того что порядок группы в 2 раза больше, появится коофициент  $\frac{1}{2}$ .

Во второй части по-прежнему можно красить и длинные и короткие циклы в моноцвет. А вот с бицветом происходит любопытная вещь — предположим мы красим цикл (пару циклов в него). Тогда добавляется смена грани

на каждом шаге, а значит для циклов нечетной длинны сменится свойство короткий–длинный. Итоговая формула такая

$$\mathcal{Z}_{F}^{(1)} + \mathcal{Z}_{F}^{(2)} = \frac{1}{2} \sum_{n,\lambda^{1} + \lambda^{2} \vdash n} \chi(\sigma_{\lambda^{1}\lambda^{2}}) \frac{\psi_{x,y,y}^{\lambda^{1}} \psi_{x}^{\lambda^{2}}}{z_{\lambda^{1}\lambda^{2}}} + \frac{1}{2} \sum_{n,\lambda_{o}^{1} + \lambda_{o}^{2} + \lambda_{e}^{1} + \lambda_{e}^{2} \vdash n} \chi(\sigma_{\lambda_{o}^{1}\lambda_{o}^{2}\lambda_{e}^{1}\lambda_{e}^{2}}) \frac{\psi_{x,y,y}^{\lambda_{e}^{1} + \lambda_{o}^{2}} \psi_{x}^{\lambda_{e}^{2} + \lambda_{o}^{1}}}{z_{\lambda_{o}^{1}\lambda_{o}^{2}\lambda_{e}^{1}\lambda_{e}^{2}}}$$
(3.5)

Где  $\lambda_o$  — циклы нечетной длинны,  $\lambda_e$  — циклы четной длинны. Откуда легко получить

$$\mathcal{Z}_F^{(1)} = \sum_{n,\lambda_o^1 + \lambda_o^2 + \lambda_e^1 + \lambda_e^2 \vdash n} \chi(\sigma_{\lambda_o^1 \lambda_o^2 \lambda_e^1 \lambda_e^2}) \frac{\psi_{x,y,y}^{\lambda_e^1 + \lambda_o^2} \psi_x^{\lambda_e^2 + \lambda_o^1}}{z_{\lambda_o^1 \lambda_o^2 \lambda_e^1 \lambda_e^2}}$$
(3.6)

$$\mathcal{Z}_{F}^{(2)} = \frac{1}{2} \sum_{n,\lambda^{1}+\lambda^{2}\vdash n} \chi(\sigma_{\lambda^{1}\lambda^{2}}) \frac{\psi_{x,y,y}^{\lambda^{1}} \psi_{x}^{\lambda^{2}}}{z_{\lambda^{1}\lambda^{2}}} - \frac{1}{2} \sum_{n,\lambda^{1}+\lambda^{2}+\lambda^{1}+\lambda^{2}\vdash n} \chi(\sigma_{\lambda_{o}^{1}\lambda_{o}^{2}\lambda_{e}^{1}\lambda_{e}^{2}}) \frac{\psi_{x,y,y}^{\lambda_{e}^{1}+\lambda_{o}^{2}} \psi_{x}^{\lambda_{e}^{2}+\lambda_{o}^{1}}}{z_{\lambda_{o}^{1}\lambda_{o}^{2}\lambda_{e}^{1}\lambda_{e}^{2}}} \tag{3.7}$$

#### 3.2.3. Примеры

Посчитаем цикленные индексы для простых h-species. Здесь мы будем писать Z(A) вместо  $Z_A$ . Это не должно вызывать путаницу, поскольку вместо A будут использоваться схематические картинки и их не перепутать с переменными, от которых считаеться цикленный индекс.

Структура «одна пара граней», будем символически писать 

⋄.

$$[\mathcal{Z}^{(1)} + 2\mathcal{Z}^{(2)}](\delta) = \frac{1}{2}(\psi_{x,y,y}^1 + \psi_x^1) = \psi_{x,y}^1$$
$$\mathcal{Z}^{(1)}(\delta) = \frac{1}{2}(\psi_x^1 + \psi_{x,y,y}^1) = \psi_{x,y}^1$$

 $\mathcal{Z}^{(2)}(\stackrel{\circ}{\circ}) = 0$ 

Значит

Структура «одна пара граней, грани различаются». Обозначение 🔓.

$$[\mathcal{Z}^{(1)} + 2\mathcal{Z}^{(2)}](\hat{\bullet}) = \frac{1}{2}(2\psi_{x,y,y}^1 + 0\psi_x^1) = \psi_{x,y,y}^1$$
$$\mathcal{Z}^{(1)}(\hat{\bullet}) = \frac{1}{2}(2\psi_x^1 + 0\psi_{x,y,y}^1) = \psi_x^1$$

Значит

$$\mathcal{Z}^{(2)}(\lozenge) = \psi_y^1$$

Структура «квадрат». Обозначение  $\square$ .

$$[\mathcal{Z}^{(1)} + 2\mathcal{Z}^{(2)}](\square) = \frac{1}{8}((\psi_{x,y,y}^1)^2 + (\psi_x^1)^2 + 2\psi_x^2 + 2(\psi_x^1\psi_{x,y,y}^1) + 2\psi_{x,y,y}^2)$$

Здесь коофициенты — не характеры (характер при каждом слагаемом = 1).

$$\mathcal{Z}^{(1)}(\Box) = \frac{1}{8}((\psi_x^1)^2 + (\psi_{x,y,y}^1)^2 + 2\psi_{x,y,y}^2 + 2(\psi_{x,y,y}^1\psi_x^1) + 2\psi_x^2) = [\mathcal{Z}^{(1)} + 2\mathcal{Z}^{(2)}](\Box)$$

Последнее следовало и из общих соображений: легко видеть что  $\mathcal{Z}^{(2)}(\square) = 0$ . Структура «квадрат, противоположные грани различаются». Обозначение  $\square$ .

$$[\mathcal{Z}^{(1)} + 2\mathcal{Z}^{(2)}](\square) = \frac{1}{8} (4(\psi_{x,y,y}^1)^2 + 0(\psi_x^1)^2 + 0\psi_x^2 + 0(\psi_x^1\psi_{x,y,y}^1) + 2 \times 2\psi_{x,y,y}^2)$$
$$\mathcal{Z}^{(1)}(\square) = \frac{1}{8} (4(\psi_x^1)^2 + 2 \times 2\psi_{x,y,y}^2)$$

Откуда

$$\mathcal{Z}^{(2)}(\square) = \frac{1}{2}([\mathcal{Z}^{(1)} + 2\mathcal{Z}^{(2)}](\square) - \mathcal{Z}^{(1)}(\square)) = \frac{1}{2}(\psi_{y,y}^1\psi_x^1 + \frac{1}{2}(\psi_{y,y}^1)^2) = \psi_y^1\psi_x^1 + (\psi_y^1)^2$$

Структура  $\stackrel{\diamond}{\bullet} \times \stackrel{\diamond}{\bullet}$ . Это не то же самое что  $\square$  , поскольку это «упорядоченная пара  $\stackrel{\diamond}{\bullet}$  ». Ее цикленный индекс мы посчитаем дальше.

#### 3.3. Сумма и произведение цикленных индексов

#### 3.3.1. Сумма

Сумма цикленных индексов соответсвует поточечной сумме аналитических функторов и здесь нет никаких сюрпризов:

$$\mathcal{Z}_{A+B}^{(1)} = \mathcal{Z}_{A}^{(1)} + \mathcal{Z}_{B}^{(1)}$$

$$\mathcal{Z}_{A+B}^{(2)} = \mathcal{Z}_{A}^{(2)} + \mathcal{Z}_{B}^{(2)}$$

#### 3.4. Произведение

Для произведения уже не совсем так. Утверждается, что моноструктура получается в произведении двух моноструктур. А биструктура получается, если один из сомножителей биструктура. Причем в случае, когда оба сомножителя — биструктуры, получается две различных биструктуры. То есть

$$\mathcal{Z}_{A*B}^{(1)} = \mathcal{Z}_{A}^{(1)} * \mathcal{Z}_{B}^{(1)}$$

$$\mathcal{Z}_{A*B}^{(2)} = \mathcal{Z}_A^{(1)} * \mathcal{Z}_B^{(2)} + \mathcal{Z}_A^{(2)} * \mathcal{Z}_B^{(1)} + 2(\mathcal{Z}_A^{(2)} * \mathcal{Z}_B^{(2)})$$

Откуда следует

$$(\mathcal{Z}_{A*B}^{(1)} + 2\mathcal{Z}_{A*B}^{(2)}) = (\mathcal{Z}_A^{(1)} + 2\mathcal{Z}_A^{(2)}) * (\mathcal{Z}_B^{(1)} + 2\mathcal{Z}_B^{(2)})$$

Что логично, поскольку  $(\mathcal{Z}_F^{(1)} + 2\mathcal{Z}_F^{(2)})$  — это цикленный индекс для цветов, с «забытой» инволюцией.

#### 3.4.1. Примеры

Посчитаем произведение уже известных h-структур и их цикленных индексов.

Структура  $3 \times 3$ .

$$\mathcal{Z}^{(1)}(\begin{cases} \begin{cases} \be$$

Структура  $\S \times \S$ .

$$[\mathcal{Z}^{(1)} + 2\mathcal{Z}^{(2)}](\mathring{\bullet} \times \mathring{\bullet}) = [\mathcal{Z}^{(1)} + 2\mathcal{Z}^{(2)}](\mathring{\bullet}) \times [\mathcal{Z}^{(1)} + 2\mathcal{Z}^{(2)}](\mathring{\bullet}) = (\psi^1_{x,u,y})^2$$

Легко получить эту же формулу и из других соображений, как  $\frac{1}{8}(8(\psi^1_{x,y,y})^2)$ .

$$\mathcal{Z}^{(1)}({}^{\circ}_{\bullet} \times {}^{\circ}_{\bullet}) = \mathcal{Z}^{(1)}({}^{\circ}_{\bullet}) \times \mathcal{Z}^{(1)}({}^{\circ}_{\bullet}) = (\psi_x^1)^2$$

#### 3.5. Цикленный индекс композиции

#### 3.5.1. Случай обычных species

Аналитический функтор позволяет дать определние композиционного произведения двух структур. Рассмотрим два species F и G. По ним можно построить аналитические функторы  $\mathcal{F}$  и  $\mathcal{G}$ . Композиция этих функторов снова будет анлитическим функтором  $\mathcal{F} \circ \mathcal{G}$ . Доказательство его аналитичности можно найти в [TODO: где или взять доказательство Дурова]. Species который соответсвует цикленному индексу  $\mathcal{F} \circ \mathcal{G}$  и будет называться  $F \circ G$ . У этого определения есть простая, наглядная комбинаторная интерпретация: каждую точку структуры F раздуваем(красим) в структуру типа G. Чудесный факт заключается в том, что в декатегорификации композиция соответствует простой формуле подстановки. Сейчас мы ее напишем и приведем набросок доказательства. В качестве множества цветов A рассмотрим счетный набор цветов  $x_1, x_2, x_3, \ldots$  Цикленный индекс запишем относительно базиса кольца симметрических функций  $\psi^1, \psi^2, \psi^3, \ldots$ 

$$\mathcal{Z}_{F \circ G}(\psi^{1}, \psi^{2}, \psi^{3}, \dots) = \\ \mathcal{Z}_{F}(\mathcal{Z}_{G}(\psi^{1}, \psi^{2}, \psi^{3}, \dots), \mathcal{Z}_{G}(\psi^{2}, \psi^{4}, \psi^{6}, \dots), \mathcal{Z}_{G}(\psi^{3}, \psi^{6}, \psi^{9}, \dots), \dots)$$
(3.8)

В композиции двух аналитических функторов получается, что цвета в которые мы красим структуру F это структуры типа G. То есть  $\mathcal{Z}_{F\circ G}=\mathcal{Z}_F(\psi_g^1,\psi_g^2,\psi_g^3,\dots)$ , где  $\psi_g^i=(g_1^i+g_2^i+g_3^i+\dots)$ , где  $g_i$  — перечисление всех структур типа G. Нужно раскрыть переменные  $g_i$  — написать их относительно начальных цветов. Формулу  $\psi_g^i=\mathcal{Z}_G(\psi^i,\psi^{2i},\psi^{3i},\dots)$  легко понять в переменных  $x_1,x_2,x_3,\dots$  Мы должны покрасить i кусков в одну и ту же G-структуру. Значит каждый цвет  $x_j$  заменяется на  $x_j^i$ .

Формулу 3.8 можно специализировать для подсчета labeled–структур. То есть покрашенных структур у которых нет двух одинаковых цветов в расскраске. Соответсвующие мономы (в базисе  $x_1, x_2, x_3, \ldots$ ) возникают только при раскрытии мономов вида  $c(\psi^1)^k$  и коэффициент в них равен ck! — такой же как при мономе с точностью до факториала. Этот факториал приводит к необходимости рассматривать экспоненциальные производящие функции вместо обычных. Можно занулить все остальные мономы подстановкой  $\psi^1 = t, \psi^2 = 0, \psi^3 = 0, \psi^4 = 0$ . Формула 3.8 примет вид  $\mathcal{Z}_{F\circ G}(t,0,0,\ldots) = \mathcal{Z}_F(\mathcal{Z}_G(t,0,0,\ldots),0,0,\ldots)$ . А значит для экспоненциальных производящих функции labeled-структур справедливо равенство

$$(f \circ g)(t) = f(g(t)) \tag{3.9}$$

А поскольку labeled структур ровно в k! раз больше, чем unlabeled, то равенство 3.9 справедливо для обыкновенных производящих функций unlabeled структур.

#### 3.5.2. Случай h-species

Теперь попробуем выстроить теорию композиции цикленного индекса для h-species, параллельно теории species. Прежде всего отметим, что инволюция на множестве цветов делит их на моноцвета  $(x_1, x_2, x_3, ...)$  и бицвета  $(y_1, y_2, y_3, ...)$ . Однако, формулы 3.4 и 3.6 подсказывают, что в качестве базиса можно брать не  $\psi_x^i, \psi_y^j$  а  $\psi_x^i, \psi_{x,y,y}^j$ . Впрочем это тривиальная замена переменных.

Итак мы хотим выяснить чему равняются

$$\mathcal{Z}_{F \circ G}^{(1)}(\psi_x^1, \psi_x^2, \psi_x^3, \dots, \psi_{x,y,y}^1, \psi_{x,y,y}^2, \psi_{x,y,y}^3, \dots)$$

$$\mathcal{Z}_{F \circ G}^{(2)}(\psi_x^1, \psi_x^2, \psi_x^3, \dots, \psi_{x, y, y}^1, \psi_{x, y, y}^2, \psi_{x, y, y}^3, \dots)$$

Утверждается следующее:

$$\mathcal{Z}_{F\circ G}^{(1)/(2)}(\psi_{x}^{1}, \psi_{x}^{2}, \psi_{x}^{3}, \dots, \psi_{x,y,y}^{1}, \psi_{x,y,y}^{2}, \psi_{x,y,y}^{3}, \dots) = \\
\mathcal{Z}_{F}^{(1)/(2)}(\mathcal{Z}_{G}^{(1)}(\psi_{x}^{1}, \psi_{x}^{2}, \psi_{x}^{3}, \dots, \psi_{x,y,y}^{1}, \psi_{x,y,y}^{2}, \psi_{x,y,y}^{3}, \dots), \\
\mathcal{Z}_{G}^{(1)}(\psi_{x}^{2}, \psi_{x}^{4}, \psi_{x}^{6}, \dots, \psi_{x,y,y}^{2}, \psi_{x,y,y}^{4}, \psi_{x,y,y}^{6}, \dots), \\
\mathcal{Z}_{G}^{(1)}(\psi_{x}^{3}, \psi_{x}^{6}, \psi_{x}^{9}, \dots, \psi_{x,y,y}^{3}, \psi_{x,y,y}^{6}, \psi_{x,y,y}^{9}, \dots), \\
\dots, \\
[\mathcal{Z}^{(1)} + 2\mathcal{Z}^{(2)}]_{G}(\psi_{x}^{1}, \psi_{x}^{2}, \psi_{x}^{3}, \dots, \psi_{x,y,y}^{1}, \psi_{x,y,y}^{2}, \psi_{x,y,y}^{3}, \dots), \\
[\mathcal{Z}^{(1)} + 2\mathcal{Z}^{(2)}]_{G}(\psi_{x}^{2}, \psi_{x}^{4}, \psi_{x}^{6}, \dots, \psi_{x,y,y}^{2}, \psi_{x,y,y}^{4}, \psi_{x,y,y}^{6}, \dots), \\
[\mathcal{Z}^{(1)} + 2\mathcal{Z}^{(2)}]_{G}(\psi_{x}^{3}, \psi_{x}^{6}, \psi_{y}^{9}, \dots, \psi_{x,y,y}^{3}, \psi_{x,y,y}^{6}, \psi_{y,y,y}^{9}, \dots), \\
\dots)$$
(3.10)

Эта формула слишком грамоздкая, поэтому давайте напишем ее на уровне членов:

$$\psi_x^i \circ (\mathcal{Z}_G^{(1)}, \mathcal{Z}_G^{(2)}) = \mathcal{Z}_G^{(1)}(\psi_x^i, \psi_x^{2i}, \psi_x^{3i}, \dots, \psi_x^{i}, \psi_x^{2i}, \psi_x^{3i}, \dots)$$

$$\psi_{x,y,y}^{i} \circ (\mathcal{Z}_{G}^{(1)}, \mathcal{Z}_{G}^{(2)}) = [\mathcal{Z}^{(1)} + 2\mathcal{Z}^{(2)}]_{G}(\psi_{x}^{i}, \psi_{x}^{2i}, \psi_{x}^{3i}, \dots, \psi_{x}^{i}, \psi_{x}^{2i}, \psi_{x}^{3i}, \dots)$$

Здесь мы пишем  $(\mathcal{Z}_G^{(1)}, \mathcal{Z}_G^{(2)})$ , поскольку цикленный индекс для h-species в действительности представляет собой пару. Биструктуры подставляются вместо бицветов, моноструктуры, вместо моноцветов. В остальном рассуждение дословно повторяет случай обычных species.

Аналогично, если сделать подстановку

$$\psi_x^1 = t, \psi_x^k = 0, k > 1$$

$$\psi_{x,y,y}^1 = s, \psi_{x,y,y}^k = 0, k > 1$$

То полученная формула показывает, что 3.9 справедливо для экспоненциальных производящих функций bilabeled-структур (то есть производящая функция от двух переменных). А можно сделать подстановку s:=t, которая даст выполнение формулы 3.9 для ехр-производящей функции просто labeled-структур. А значит и обычной производящей функции unlabeled-структур.

#### 3.5.3. Примеры

Посчитаем  $(\mathcal{Z}^{(1)}, \mathcal{Z}^{(2)})(\stackrel{\diamond}{\bullet} \circ \stackrel{\diamond}{\circ})$ 

$$\mathcal{Z}^{(1)}({}^{\lozenge}_{\bullet} \circ {}^{\lozenge}) = \psi^1_x \circ \psi^1_{x,y} = \psi^1_{x,y} = \mathcal{Z}^{(1)}({}^{\lozenge}_{\bullet})$$

$$\mathcal{Z}^{(2)}({}^{\diamond} \circ {}^{\diamond}) = \psi^1_y \circ 0 = 0 = \mathcal{Z}^{(2)}({}^{\diamond})$$

Да и вобще, справедливо

$$\mathcal{Z}^{(1)}(\overset{\circ}{\bullet} \circ A) = \mathcal{Z}^{(1)}(A)$$

$$\mathcal{Z}^{(2)}(\mathring{\bullet} \circ A) = \mathcal{Z}^{(2)}(A)$$

А так же

$$\mathcal{Z}^{(1)}(A \circ \stackrel{\circ}{\bullet}) = \mathcal{Z}^{(1)}(A)$$

$$\mathcal{Z}^{(2)}(A \circ \stackrel{\circ}{\bullet}) = \mathcal{Z}^{(2)}(A)$$

Это дает некоторое понимание композиции. Так  $A \circ \mathring{\bullet} = \mathring{\bullet} \circ A = A$ . То есть  $\mathring{\bullet}$  является нейтральным элементом в монойде h-species по композиции. Это несколько контр-интуитивно, поскольку в обычных species нейтральным элементом являеться одноточечное множество. А его образом при вложении species в h-species являеться  $\mathring{\circ}$ . [ТОДО A не значит ли это что просто можно по другому вложить?]

$$[\mathcal{Z}^{(1)} + 2\mathcal{Z}^{(2)}](\square \circ \lozenge) = \frac{1}{2} (\frac{1}{2} (\psi_{x,y,y}^1 + \psi_x^1))^2 + \frac{1}{2} (\frac{1}{2} (\psi_{x,y,y}^2 + \psi_x^2)) = \frac{1}{8} ((\psi_x^1)^2 + (\psi_{x,y,y}^1)^2 + 2\psi_{x,y,y}^2 + 2(\psi_{x,y,y}^1 \psi_x^1) + 2\psi_x^2) = [\mathcal{Z}^{(1)} + 2\mathcal{Z}^{(2)}](\square)$$
(3.11)

Откуда можно сделать вывод, что  $\square \circ \lozenge = \square$ . То есть подстановка  $\lozenge$ , это «стирание различий между противоположными гранями».

### 3.5.4. Предложения [TODO]

$$(\mathcal{Z}_G^{(1)}, \mathcal{Z}_G^{(2)})(\psi_x^1, \psi_x^2, \psi_x^3, \dots, \psi_{x,y,y}^1, \psi_{x,y,y}^2, \psi_{x,y,y}^3, \dots) = (\mathcal{Z}_G(\psi_{x,y}^1, \psi_{x,y}^2, \psi_{x,y}^3, \dots), 0)$$

Где G — обычный species, вложенный в h-species. А  $\mathcal{Z}_G$  — его цикленный индекс.